

مقایسه پرموتر ژنهای همانندسازی (۱۶ و ۵۲) دو سوش ویروس آبلهمرغان و زونا (VZV)

مستانه ظهری^۱، مجید صادقی زاده^{۲*}، خسرو خواجه^۳، هادی شیرزاد^۴

- ۱- دانشجوی کارشناسی ارشد گروه ژنتیک، دانشگاه تربیت مدرس، تهران، ایران
۲- دانشیار گروه ژنتیک، دانشگاه تربیت مدرس، تهران، ایران
۳- استادیار گروه بیوشیمی، دانشگاه تربیت مدرس، تهران، ایران
۴- دانشجوی دکترای گروه ژنتیک، دانشگاه امام حسین، تهران، ایران

چکیده

هدف: تحقیقات انجام شده عفونت‌زایی متفاوتی را در شرایط آزمایشگاه *in vitro* دو سوش Dumas و Oka نشان داده است. تاکنون عفونت‌زایی قابل توجهی برای سوش Dumas در آزمایشگاه مشاهده نشده، در حالی که سوش Oka در همین شرایط عفونت‌زایی مناسبی داشته است. یکی از دلایل تفاوت، می‌تواند بیان ضعیف ژنهای همانندسازی سوش Dumas نسبت به سوش Oka به علت تفاوت در توالی پرموتر این ژنها باشد.

مواد و روشها: در این تحقیق تفاوت توالی پرموترها و تأثیر آن در رونویسی و بیان در برخی از ژنهای همانندسازی (ژن ۱۶ و ۵۲) به روش اندازه‌گیری بیان ژن گزارشگر بررسی شده است. با توجه به توالی ژنوم VZV (Dumas) ۲ جفت آغازگر برای تکثیر پرموتر ژنهای ۱۶ و ۵۲ طراحی گردید. به وسیله این آغازگرها ناحیه تقویتی پرموترهای ژنهای ۱۶ و ۵۲ در سوشهای Dumas و Oka با روش PCR تکثیر شد و پس از تعیین توالی در ناقل حاوی ژن گزارشگر Lacz وارد شد و مقایسه قدرت بیان پرموترها در سلول Huh7 بعد از ساخت این مولکولهای نوترکیب به روش اندازه‌گیری آنزیم بتا گالاکتوزیداز حاصل بررسی شد.

نتایج: مقایسه مولکولهای نوترکیب ژن ۵۲ نشان داد قدرت پرموتر سوش Oka حدود ۴ بار بیشتر از قدرت پرموتر همین ژن در سوش Dumas می‌باشد. همین طور با ورود همزمان ناقل حاوی ترانس اکتیوator (IE۶۲) و مولکولهای نوترکیب به سلولهای Huh7 پرموتر ژن ۵۲ سوش Oka نسبت به پرموتر سوش Dumas نسبت به حالت پایه ۴ بار بیشتر متأثر گردید. در بیان ژن گزارشگر به وسیله پرموترهای ژن ۱۶، دو سوش تفاوت چندانی مشاهده نشد.

تعیین توالی نوکلئوتیدی ناحیه تکثیر شده ژن ۵۲ نشان داد که دو سوش Dumas و Oka در ۳ نقطه متفاوت می‌باشند. در حالی که در ناحیه تکثیر شده ژن ۱۶ تفاوتی بین دو سوش مشاهده نشد.

بحث و نتیجه‌گیری: بنابراین معلوم گردید پرموتر ژن ۵۲ سوش Oka به دلیل جهش ۴ مرتبه فعالتر از این پرموتر در سوش Dumas می‌باشد که احتمالاً در عفونت‌زایی سوش Oka مؤثر است.

کلید واژگان: ویروس آبلهمرغان وزونا (VZV)، پرموتر، ترانسفکشن، بتا گالاکتوزیداز

۱- مقدمه

ویروس واریسلا - زوستر^۱ عامل مولد آبلهمرغان - زونا یک VZV [Fields B.N,1996]. ردیف کامل نوکلئوتیدی ژنوم (سویه Dumas) به وسیله داویسون و اسکات^۲ در سال ۱۹۸۶

ویروس انسانی و عضو خانواده هرپس ویریده^۳ می‌باشد.

* نشانی مکاتبه: تهران دانشگاه تربیت مدرس، دانشکده علوم پایه، گروه ژنتیک، صندوق پستی: ۱۴۱۱۵-۱۷۵

E-mail: sadeghma@modares.ac.ir

1. Varicella zoster virus

2. Herpesviridae

3. Davison and scott

با توجه به این نتایج این طور فرض شد که کاسمیدهای ساخته شده، که از سوش Dumas تهیه شده‌اند، نسبت به کاسمیدهای ساخته شده که از سوش Oka ساخته شده‌اند، متفاوت عمل می‌نمایند و ضعیف‌تر بیان می‌شوند. و این عدم تولید CPE و بیان ویریون می‌تواند منوط به جهش‌های نقطه‌ای مؤثر در این سوش باشد. اولین تصور این است که این تفاوتها می‌تواند مربوط به توالی پرومودر ژن یا ژنهایی باشد که در همانندسازی ضرورت دارند در نتیجه رونویسی و بیان آن ژن و یا ژنهای خاص کاوش یافته و تاثیر بر تولید ویریون نیز خواهند داشت. در این پژوهش با توجه به این فرضیه از میان ۷ ژن شناخته شده همانندسازی در مرحله اول دو ژن ۵۲ و ۱۶ که هلیکاز پرمیاز^۸ هستند، انتخاب گردید و تحت سیستم سنجش پرومودر بتا گالاکتوزیداز^۹ مقدار رونویسی و بیان آنها مقایسه شد.

۲- مواد و روشها

۱-۲- تکثیر قطعه پرومودر (PCR)

طراحی پرایمرهای ۱۶ZF، ۱۶ZR، ۵۲ZF، ۵۲ZR برای تکثیر پرومودر ژن ۱۶ [Davison A.J., Scott J.E., 1986] Dumas برای هر دو سوش (Oka, Dumas) انجام شد. همین طور پرایمرهای ۱۶ZF، ۱۶ZR، ۵۲ZF برای تکثیر ناحیه احتمالی پرومودر ژن ۱۶ برای هر دو سوش ساخته شد.

۱۶ZF: "AGTC CTGCAGCAGCTCTGGCGATTCTG"

۱۶ZR: "ACGT AAGCTTGGTTCCCTTCATCGTG"

۵۲ZF: "TCAG AAGCTTGCCTGTGTSSCGTTACTGAC"

۵۲ZR: "ACTG CTGCAGGGACTGTGTCCAGGATGTG"

به انتهای هر یک از پرایمرها به طور مقتضی توالی شناسایی آنزیمهای PstI، HindIII، *Tannealing* = ۵۵ در ATG، *Tannealing* = ۶۱ PCR و *Tannealing* = ۵۹ بهینه سازی شرایط پرومودر در ناقل بیان، برای رونویسی صحیح خواهد بود. به وسیله پرایمرها، توالی دو سمت ATG در *Tannealing* شد. در *Tannealing* به ترتیب برای ژنهای ۱۶ و ۵۲ استفاده شد، پس از تکثیر نهایی قطعات با آنزیم Pfu، قطعه مربوط به پرومودر ۱۶ با اندازه ۷۶۶ جفت باز و مربوط به پرومودر ۵۲ با اندازه ۶۸۴ جفت باز پس از تعیین توالی خالص و در کلونینگ استفاده شد.

8. Helicase-Primase
9. Galactosidase

تعیین شد. ژنوم این ویروس یک مولکول DNA دو رشته‌ای (80 ± 3 دالتون) خطی است که ۱۲۴۸۴ جفت باز طول دارد.

[Davison A.J., Scott J.E, 1986] ژنهای همولگ VZV و HSV شناخته شده‌اند HSV ICP۲۷، ICP۴، ORF۶۲ و ICP۴، ORF۶۲ همولگ می‌باشد و نقش ترانس اکتیوatorی (فعال کننده ترانس)^۱ آنها گزارش شده است. [Fields B.N, 1996] یک ORF۶۲ فسفوپروتئین ۱۷۵ کیلو Daltonی و یکی از اجزای ساختاری تگومنت ویروس است. [Granoff A. and Webster R, 1996] این پروتئین همولگ ICP۴ در ۱ HSV بوده و همچون همولگ خود قادر به فعل کردن ژنهای ویروسی است. این ژن یک فعل کننده رونویسی بوده و پرومودرهای هر سه گروه ژنی (اعم از α , β , γ) را به‌نهایی و یا همراه با IE۴ فعل می‌کند. [Abendroth A. and A., 1999]

ORF۴ یک پروتئین ۵۵ کیلو Daltonی با ۴۵۲ اسید آمینه است که به مقدار زیاد در تگومنت ویروس یافت می‌شود. جایابی این پروتئین غالباً در سیتوپلاسم است. اگرچه توالی آمینواسیدی آن در ناحیه انتهای کربوکسی^۲ HSV ۱ ICP۲۷ مشابه است؛ ولی از لحاظ عملکرد، کاملاً متمایز از ICP۲۷ می‌باشد [Sadzot – Delvaux C., 1999]. نقش تنظیمی مهمی در همانندسازی VZV بر عهده دارد. این ژن یک فعل کننده رونویسی بوده و پرومودرهای هر سه گروه ژنی را به‌نهایی و یا همراه با IE۶۲ فعل می‌کند. برخلاف ICP۲۷ فعالیت ریپرسوری^۳ ندارد. IE۴ به عنوان یک فعل کننده ترانس عمل می‌کند. در سال ۱۹۹۳ دو دانشمند به نامهای کوهن و سیدل^۴ به علت عفونتزا بودن DNA ویروس VZV و در تولید ویریون^۵ برای مطالعات ژنتیکی و بیوشیمیابی چهار کاسمید^۶ همپوشان حاوی ژنوم کامل VZV از سوش دوماس^۷ را ایجاد کردند اما طی مطالعات کوهن، هرگز توانست بیان ژنهای همانندسازی را در این کاسمیدها نشان دهد و ورود همزمان این چهار کاسمید به درون یاخته میزان آثار CPE و تولید ویریون را نشان نداد [Cohen J.I., Seidel K.]. بنابراین کوهن چهار کاسمید همپوشان دیگر ساخت که حاوی ژنوم کامل سویه Oka VZV بودند. در حضور این کاسمیدها بیان ژنهای همانندسازی و تولید ویریون دیده شد.

1. Transactivator
2. Carboxy- Terminal
3. Repressory
4. Cohen and sidel
5. Virion
6. Cosmide
7. Dumas

۲-۵- بررسی کمی آنزیم بتاگالاكتوزیداز بیان شده

پس از تهیه عصاره سلولی، مقدار ۳۰ میکرو لیتر از عصاره، در مجاورت ۶۶ میکرولیتر از ۱۰^{۱۰} ONPG در حجم نهایی ۳۰۰ میکرولیتر بافر مناسب فعالیت آنزیم در دمای ۳۷ درجه سانتیگراد قرار گرفت. آنزیم تولید شده (بتا گالاكتوزیداز) در مجاورت سوبسترات ONPG رنگ زرد ایجاد می‌نماید. پس از آن، واکنش با کربنات سدیم متوقف و جذب رنگ در ۴۲۰ نانومتر اندازه‌گیری شده و جذب در شرایط مشابه برای سوش دیگر با آن مقایسه و برای دقت و صحت بیشتر این جذبهای به وسیله الیزا ریدر نیز خوانده شد.

۳- نتایج

۱-۱- تشابه توالی پروموتر ژن ۱۶ در دو سوش

Dumas و Oka

محصول تکثیر با استفاده از دو پرایمر ۱۶ZF, ۱۶ZR که از روی DNA سوش Oka (کاسمید PVFSp₄) به دست آمد. برای تعیین توالی، خالص و به وسیله کمپانی MWG آلمان با استفاده از پرایمر ۱۶ZF به دقت تعیین توالی شد. نتیجه به دست آمده با توالی سوش BLAST (موجود در سایت NCBI) به وسیله نرم افزار Dumas مقایسه گردید. در ناحیه تکثیر شده (حدود ۷۵۰ جفت باز) هیچ تفاوتی در توالی دو سوش Oka, Dumas, Oka، به عبارتی توالی پروموتری ژن ۱۶ در دو سوش مشابه است.

۲-۲- تفاوت توالی پروموتر ۵۲ در دو سوش

Oka و Dumas

محصول تکثیر با استفاده از دو پرایمر ۵۲ZF, ۵۲ZR که از روی DNA سوش Oka (کاسمید PVPme₁₉) به دست آمد، برای تعیین توالی، خالص و به وسیله کمپانی MWG آلمان با استفاده از پرایمر ۵۲ZF، بدقت تعیین توالی شد. نتیجه به دست آمده با توالی سوش BLAST (موجود در سایت NCBI) مقایسه و گردید. در ناحیه تکثیر شده در سه نقطه تفاوت نوکلوتیدی مشاهده شد. محصول تکثیر فوق بار دیگر تهیه و با استفاده از پرایمر ۵۲ZR به وسیله کمپانی MWG آلمان تعیین توالی شد. توالی به دست آمده با توالی سوش Dumas مقایسه و در همان نواحی تفاوت نوکلوتیدی مشاهده گردید. این نواحی در فاصله ۱۰۰ و ۲۷۵ و ۲۹۰ نوکلوتیدی از ناحیه شروع ترجمه (ATG) قرار گرفته‌اند.

۲-۲- ساخت پلاسمیدهای نوترکیب

پس از هضم آنزیمی همزمان با دو آنزیم HindIII, PstI حاصل از PCR و ناقل بیانی pSDK پلاسمیدهای نوترکیب pMZ1, pMZ2 ساخته شد.

(pMZ1) پلاسمید حاوی پروموتر ژن ۵۲ سوش Oka. از قرار گرفتن پروموتر ژن بتا گالاكتوزیداز ناقل بیانی pSDK و (pMZ2) پلاسمید حاوی پروموتر ژن ۵۲ سوش Dumas: از قرار گرفتن پروموتر ژن ۵۲ سوش Dumas در این جایگاه آنزیمی ایجاد شد. پلاسمیدهای حاوی زنهای pCMV4, pCMV62 و IE62 و Ling P., 1992 ویروس واریسلا زوستر به عنوان فعال‌کننده استفاده شد.

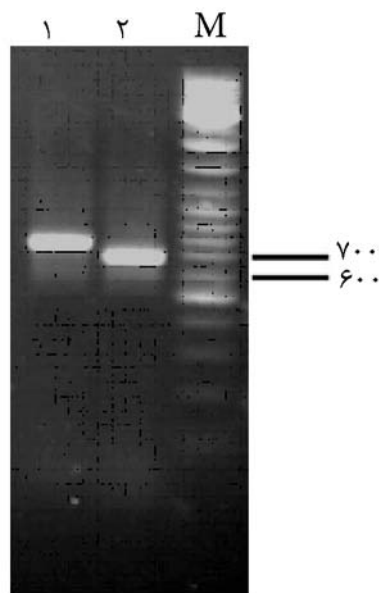
۳-۲- کشت سلول یوکاریوتی

Huh7: سلولهای Huh7 در محیط DMEM حاوی ۵ درصد سرم (FBS) کشت داده شد. این سلولها پس از تکثیر به تعداد (۵۰۰ هزار سلول) و کاملاً مساوی به ظروف شش خانه مخصوص ترانسفکشن^۱ انتقال یافت. ترانسفکشن، زمانی صورت گرفت که سلولها در کف ظروف مستقر شده تقریباً تمام سطح ظرف را پوشانده و هنوز فضای کافی برای رشد داشتند. ۴ ساعت قبل از ترانسفکت کردن محیط تازه در مجاورت سلولها قرار گرفته، سپس DNA مورد نظر آماده و وارد سلولها شد.

۴-۲- ترانسفکشن و تهیه عصاره سلولی

انتقال DNA مورد نظر (pMZ1, pMZ2,...) با روش شیمیابی ایجاد رسوب فسفات کلسیم در روش وابسته به مقدار (Dose dependent) پلاسمیدی DNA با مقدار متفاوت (۱۰-۱۵ میکروگرم) به تهیه وارد سلولها شد و سپس در در این آزمایش pMZ1, pMZ2 به تهیه وارد سلولها شد و سپس در آزمایشات بعدی pMZ1, pMZ2 همراه ترانس اکپیوتورها (pCMV4, pCMV62) با مقدار متفاوت، به سلولها وارد شد، همزمان از pON284 که حاوی پروموتر ژن اولیه فوری ویروس CMV در جلوی ژن بتا گالاكتوزیداز می‌باشد [Ling P., 1992]، به عنوان کنترل مثبت استفاده شد. محیط کشت سلولها ۴ ساعت پس از ترانسفکشن تعویض گردید. پس از ۴ ساعت سلولهای ترانسفکت شده برای استخراج آنزیم تولید شده لیز تجزیه شدند. سلولها با روش انجماد و ذوب بدون استفاده از مواد شیمیابی گسسته و آنزیم در بافر مناسب Tris-HCl (۰.۲M) سرد آزاد شد.

1. Transfection

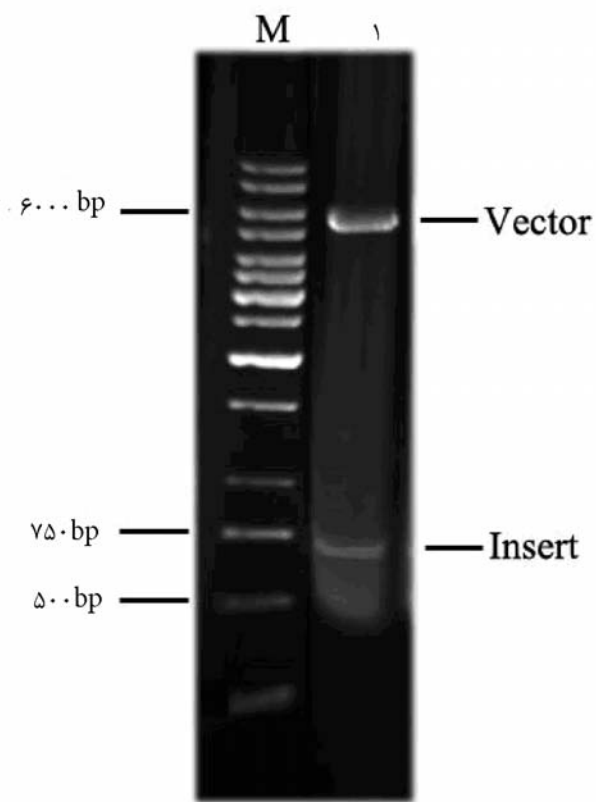


شکل ۱ انجام PCR ناجیه پرموتری ۱۶ و ۵۲

ستون ۱ محصول PCR مربوط به پرموتر ۱۶ با اندازه ۷۶۶ جفت باز

ستون ۲ محصول PCR مربوط به پرموتر ۵۲ با اندازه ۶۸۴ جفت باز

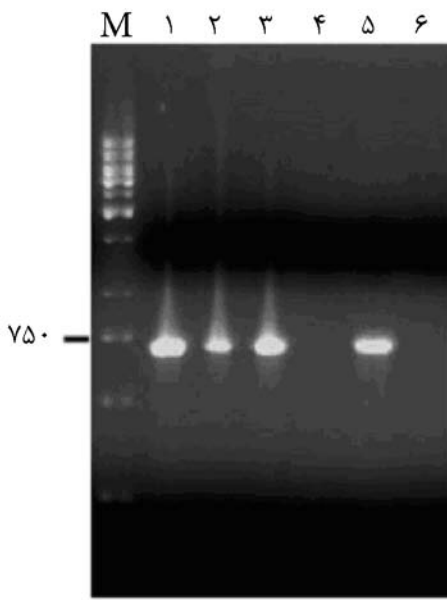
ستون M سایز مارکر DNA ladder



شکل ۲ تأیید کلونی نوترکیب pMZ2

۱- هضم آنزیمی پلاسمید با دو آنزیم *PstI*, *HindIII* و آزاد شدن قطعه ۶۸۸ جفت بازی و وکتور خطی *pSDK*

۲- سایز مارکر SM ۰۳۱۳ فرماننماز

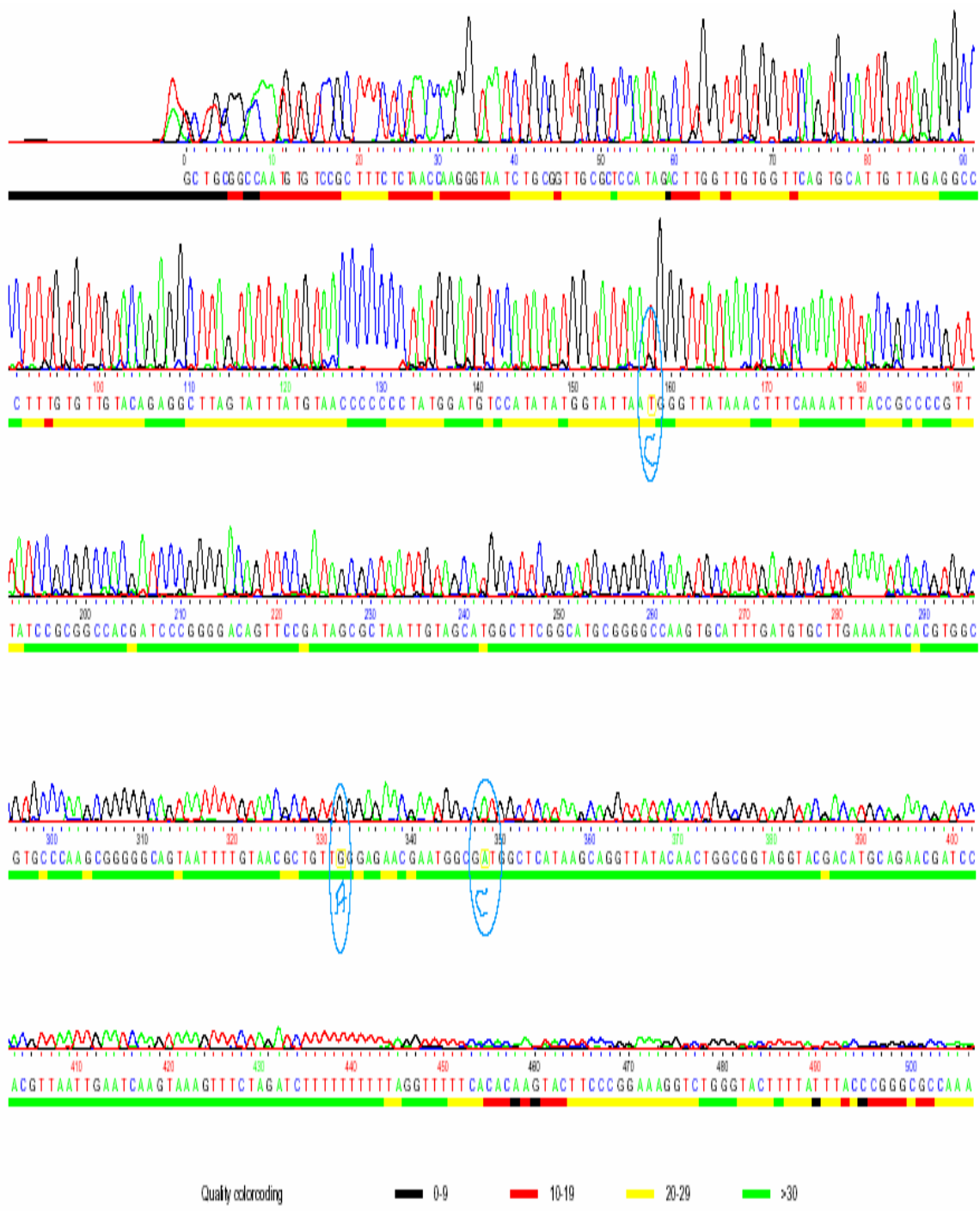


شکل ۳ غربالگری کلونیهای نوترکیب pMZ۲ با روش PCR

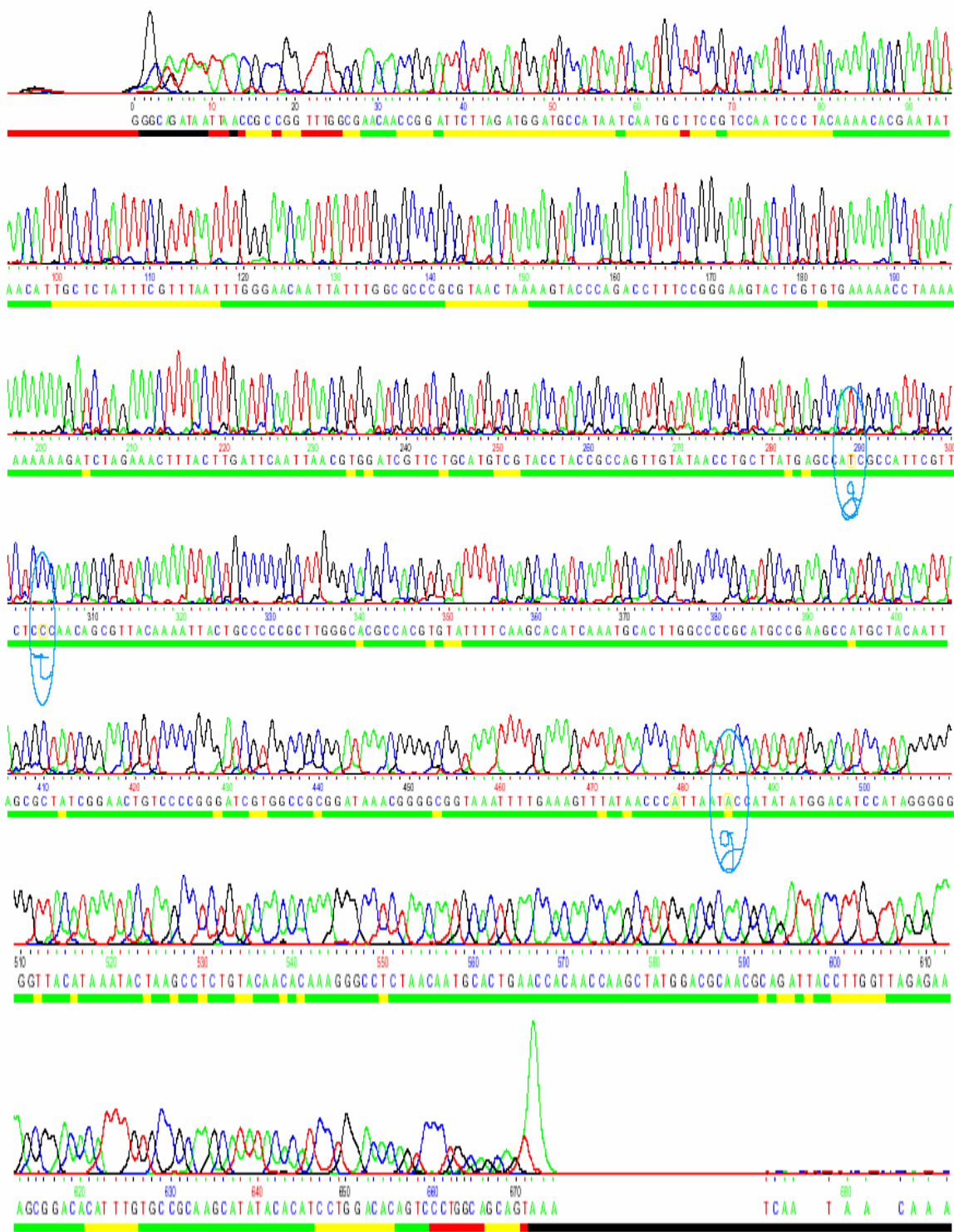
ستون ۱ - ۳ کلونیهای نوترکیب (کلونهای شماره ۱ و ۲ و ۳)؛ ستون ۴ کلونی شماره ۴. ستون ۵ کنترل مثبت (محصول PCR پرومومتر ژن ۵۲)؛ ستون ۶ کنترل منفی (PCR پلاسمید فاقد پرومومتر)

جدول ۱ جذب نوری مریبوط به واکنش آنزیم سوبسترا در نمونه‌های ترانسفکت شده

توضیحات	OD (nm)	میانگین	جذبها	مقدار	DNA	شماره
کنترل مثبت	۲/۵۵		۲/۶۵، ۲/۵۶ ۲/۵۰، ۲/۵۵	۵µg ۵µg ۵µg	pON۲۸۴ pCMV۶۲ pCMV۴	۱
فعال شده با ترانس اکتیواتور	۰/۷۷		۰/۸۱، ۰/۷۸ ۰/۶۹، ۰/۸	۵µg ۵µg ۵µg	pMZ۱ pCMV۶۲ pCMV۴	۲
فعال شده با ترانس اکتیواتور	۰/۲۷		۰/۲۳، ۰/۳۴ ۰/۲۸، ۰/۲۵	۵µg ۵µg ۵µg	pMZ۲ pCMV۶۲ pCMV۴	۳
فعالیت پایه پرومومتر	۰/۱		۰/۱۴، ۰/۱۷ ۰/۰۳، ۰/۱۱	۵µg	pMZ۱	۴
فعالیت پایه پرومومتر	۰/۰۴		۰/۰۲، ۰/۰۳ ۰/۱۱، ۰/۰۳	۵µg	pMZ۲	۵
بدون پرومومتر	۰/۰۱		۰/۰۱	۵µg	pSDK	۶
بیان وابسته به میزان DNA	۰/۸۷		۰/۸۷، ۰/۸۸ ۰/۹۳، ۰/۷۹	۱۰µg ۵µg ۵µg	pMZ۱ pCMV۶۲ pCMV۴	۷
بیان وابسته به میزان DNA	۰/۳۴		۰/۳۴، ۰/۳۲ ۰/۲۷، ۰/۴۱	۱۰µg ۵µg ۵µg	pMZ۲ pCMV۶۲ pCMV۴	۸



شکل ۴ نتیجه تعیین توالی ناحیه احتمالی پرموتر ژن ۵۲ سوش Dumas با پرایمر Oka و تفاوت نوكلوتیدها با سوش ۵۲ZR



شکل ۵ نتیجه تعیین توالی ناحیه احتمالی پروموتر زن ۵۲ سوش Oka با پرایمر ZF ۵۲ و تفاوت نوکلوتیدها با سوش Dumas

پرموتری نشان داد همین طور تعیین توالی نواحی پرموتری ژن ۵۲ سوش Oka و Dumas در سه نقطه تفاوت نشان داد که بنا به تبایخ به دست آمده، می‌توان گفت که این تفاوتها در محلهای مؤثر در رونویسی پرموتر واقع گردیده و بر میزان رونویسی اثر داشته است؛ به عبارت دیگر احتمالاً جهشها سبب کاهش رونویسی با پرموتر Dumas شده‌اند. یکی از این جهشها تبدیل باز A در سوش Oka به باز G در سوش Dumas در فاصله ۱۰۰ نوکلوتیدی از محل شروع ترجمه است که با توجه به توالی اطراف، احتمالاً می‌تواند مربوط به توالی TATA باشد و با این تغییر در سوش Dumas شدن دو رشته DNA با تأخیر انجام می‌شود و در نتیجه کاهش میزان رونویسی بدینهی خواهد بود، که نشانگر اثر جهش بر رونویسی پایه پرموتر ژن ۵۲ سوش Dumas است (نمودار ۱).

دو جهش دیگر نیز که در فواصل ۲۷۵ و ۲۹۰ از شروع ترجمه واقع شده‌اند، می‌توانند محل اتصال عوامل ماشین رونویسی باشند که احتمالاً نشانگر اثر جهشها بر میانکش فاکتورهای رونویسی با DNA می‌باشد (نمودار ۲) در مجموع با توجه به نتایج به دست آمده می‌توان گفت ناحیه احتمالی پرموتر ژن ۵۲ سوش Oka نسبت به ناحیه احتمالی پرموتر ژن ۵۲ سوش Dumas قویتر بوده و فرضیه نقش محصول این ژن در همانندسازی و تولید ویریون از کاسمیدهای ویروس واریسلا زوستر را، تقویت می‌کند.

۵- قدردانی و تشکر

از سرکار خانم دکتر طراوت بامداد به خاطر اهدای پلاسمید بیانی تشکر می‌شود.

۳-۳- تفاوت فعالیت پرموتر ژن ۵۲ در دو سوش Oka و Dumas

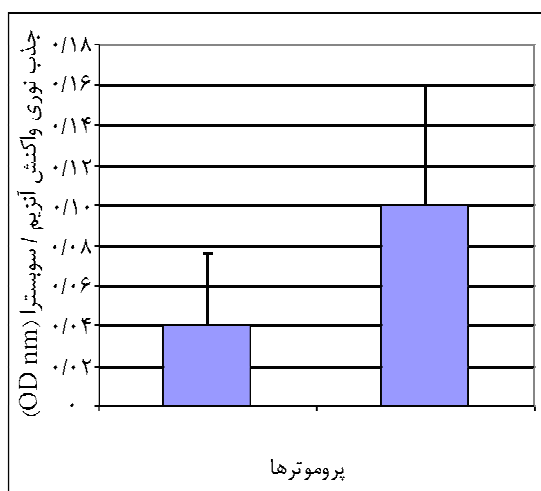
پس از تهیه ساختارهای جدید پلاسمیدی حاوی پرموتر سوش‌های Oka و Dumas به ترتیب pMZ1، pMZ2 و با ورود مقادیر مساوی از این ساختارها به رده سلولی کاملاً مشابه از نظر تعداد و شرایط، تولید آنزیم بتاگالاكتوزیداز حاصل از این ساختارها در آزمایشات مختلف مقایسه شد و میانگین تولید آنزیم با پرموتر ۵۲ سوش Oka چهار برابر بیش از تولید آنزیم با پرموتر ۵۲ سوش Dumas بود (نمودار ۳).

۴- تأثیر اکتیواتورها (۴ و ۶۲) بر پرموتر ژن ۵۲ دو سوش Oka و Dumas

با ورود همزمان ترانس اکتیواتورها و پلاسمیدهای حاوی پرموتر ژن ۵۲، تولید آنزیم بسیار بیش از حالت پیشین مشاهده شد. افزایش تولید آنزیم در مورد هر دو پلاسمید pMZ1 و pMZ2 مشاهده شد، با ورود ۴ و ۶۲ بیشتر از ورود تنها ۶۲ به عنوان فعال‌کننده ترانس افزایش آنزیم مشاهده گردید.

۴- بحث

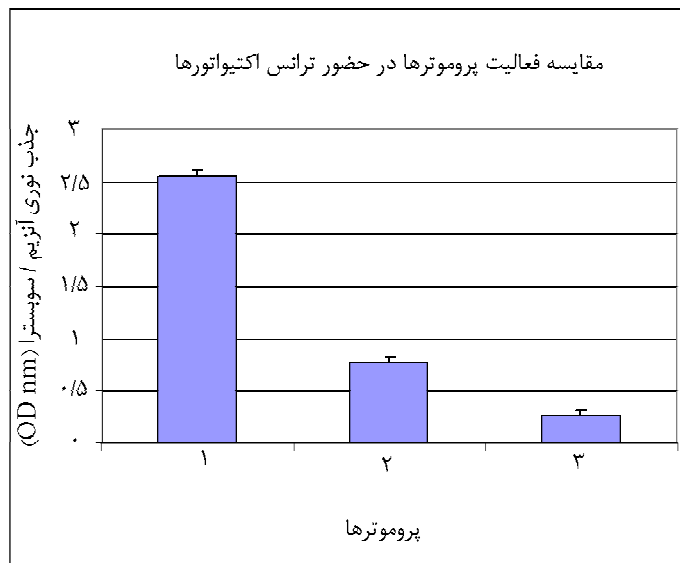
مطالعه ناحیه پرموتری ژنهای همانند سازی VZV به استثنای ژنهای ۲۸ و ۲۹ که کدکننده پروتئین‌های اتصال به DNA عمومی و پلیمراز ویروس را تولید می‌نمایند انجام گرفته و حتی ناحیه شروع نسخه‌برداری (+) شناخته نشده است. از این رو در این آزمایش حدود ۷۰۰ نوکلوتید قبل از کدون شروع ترجمه پروتئین‌های هلیکاز و پریماز بهوسیله PCR تکثیر و در محل پرموتر نافل گزارشگر کلون گردید، آزمایش سنجش بتا گالاكتوزیداز این نواحی را به عنوان ناحیه



نمودار ۱ مقایسه فعالیت پرموتر ژن ۵۲ در دو سوش Oka، Dumas بدون حضور اکتیواتورها

ستون ۱ جذب مربوط به پرموتر Dumas

ستون ۲ جذب مربوط به پرموتر Oka

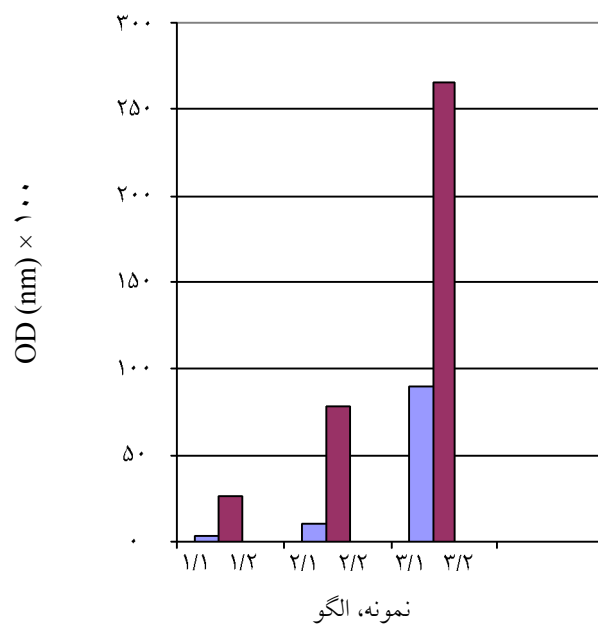


نمودار ۲ مقایسه فعالیت پرموترها با حضور ترانس اکتیواتورها

ستون ۱ پرموتر Dumas و اکتیواتور ۶۲ و ۴

ستون ۲ پرموتر Oka و اکتیواتور ۶۲ و ۴

ستون ۳ جذب کنترل مثبت پرموتر CMV



نمودار ۳ مقایسه افزایش القای ناشی از حضور فعال‌کننده ترانس

ستون ۱/۱ فعالیت پایه پرموتر Dumas

ستون ۱/۲ فعالیت پرموتر فعال شده Dumas

ستون ۲/۱ فعالیت پایه پرموتر Oka

ستون ۲/۲ فعالیت پرموتر فعال شده Oka

ستون ۱/۳ فعالیت پایه پرموتر CMV

ستون ۲/۲ فعالیت پرموتر فعال شده CMV

۵- منابع

- [1] Abendroth A. and A. Varicella – Zoster Virus immune evasion. Immunological Rev., 143-156, 1999.
- [2] Cohen J. L., Heffel D. and Seidel K. The Transcriptional Activatio Domain of Varicella – zoster virus open Reading Frame 62 protein is not conserved with its Herpes simplex virus Homology. J. Virol. 4246-4251, 1993.
- [3] Davison A.J., Scott J.E. The complete DNA sequence of varicella – zoster virus. J. Gen. Virol, 67: 1760-1816, 1986.
- [4] Cohen J.I., and Seidel K. Varicella –Zoster Virus (VZV) Open Reading Frame 10 protein.The Homolog of the Essential Herpes Simplex Virus Protein VP16, is Dispansable for VZV Replication invitro. J. Virol., 7850-7858, 1994.
- [5] Fields B.N. Fileds virology. 3rd edition, U.S.A: Lippincott Raven publishers, pp. 2425-2541, 1996.
- [6] Granoff A. and Webster R. Encyclopedia of virology. 2nd edition, Academic press., 166 (1): 7-12, 1992.
- [7] Ling P., Kinchington P.R., Sadeghizadeh. M., Ruyechan W. T. and Hay J. Transcription from Varicella – Zoster Virus. Gene 67 (Glycoprotein IV). J. Virol., 3690-3698, 1992.
- [8] Perera P., The TATA motif specifies the Differential Activation of minimal promoters by Varicella Zoster Virus Immediate – early Regulatory Protein IE62. J. Biol Chen, 275:487-496 , 2000.
- [9] Rahaus M., Desloges N., Yang M., Ruyechan W.T. wolff M. H. Transcription factor USF, expressed during the entire phase of varicella – zoster virus in fection, interacts physically with the major viral trans activator IE62 and plays a significant role in virus repletion. Genvirol, 2957-2967, 2003.
- [10] Sadzot – Delvaux C., Baudoux L.and Defechereux P. Overview of the Replication of Varicella – Zoster Virus. Mol. Bio. Path. Clin. Asp., 3: 21-42, 1999.
- [11] Yaghoobi M.M., Sadeghizadeh M., Naderimanesh H., Noori-Daloii M.R. Varicella Zoster Virus (VZV) Origin-dependent plasmid Replication the preseuce of the four overlapping cosmids comprising the complete Genome of VZV. J.S.I.R.I. 15 (1):21-26 (2004).